按钮可提供个性化指导;下方柱状图展示当日不同时段血压 波动,整体粉色调显温馨,数据图表让健康信息清晰易懂。

声光调节首页顶部以 "58/100" 分数显 "今日心情指数";下方有音乐库选曲按钮,中部可自动或手动调灯光颜色亮度,底部展示轻音乐曲目供直接播放。



综上,终端原型设计简洁、色彩柔和、操作便捷,适 配注重健康与生活品质的用户。

4. 使用体验与交互设计反馈

为全面验证产品交互设计的合理性与有效性,本研究结合 50 名使用产妇的问卷调查、操作行为观察及深度访谈,从信息架构、操作流程、视觉交互、反馈机制四大核心维度展开评估。

从使用体验来看,产妇对产品整体满意度达 85%: 80% 的产妇认可情绪监测功能的准确性,能通过数据直观感知自身情绪变化; 75% 的产妇认为个性化声光方案对缓解抑郁有明显帮助,尤其在夜间哄睡新生儿后,舒缓音乐与暖光组合能快速平复焦虑; 90% 的产妇反馈产品操作门槛低,无智能设备使用经验者也能在 10 分钟内掌握基础功能; 70% 的产妇通过社交平台获得情感支持,减少了产后孤独感。另有产妇提出改进建议,如希望增加民族音乐、支持自定义提醒时段与频率。

在交互设计评估方面,各维度表现如下:

信息架构合理性:产品框架层设计健康监测、声光调节、社交互动 三大核心模块,调查显示 92% 的产妇能在 3 秒内定位目标功能,仅 5% 的用户混淆"情绪分析报告"与"健康建议"人口,主要因二者图标风格相近。访谈发现,产妇更倾向于将"情绪报告"归类至"健康监测"模块,后续可优化模块内标签命名,增强辨识度。

操作流程效率:针对核心任务(启动个性化声光方案、查看情绪监测结果)的操作测试显示,88%的产妇能在10秒内完成进入声光调节、选择方案类型、确认启动的操作,12%的产妇反馈"选择音乐子类型"步骤冗余,建议增加常用方案一键启动,减少重复操作。

视觉交互适配性:表现层采用的粉色、浅蓝色等柔和色调,获89%产妇认可,认为能营造温暖舒适的使用氛围;但15%的产妇反馈夜间模式下,健康数据图表的图标对比度不足,暗光环境中难以快速读取心率、血压数值,需调整夜间模式下的图标亮度与色彩饱和度。

反馈机制有效性:产品设计的弹窗、震动、声光提示等反馈方式中,85%的产妇能准确识别情绪异常、健康提醒等关键信息;但10%的产妇反馈夜间休息时震动强度不足,易错过喂奶时间提醒,建议增加日间强震动、夜间弱声光的分级提醒模式。

5 结语

本研究针对产后抑郁干预,结合其成因与危害,依托物联网技术及声光疗法,完成物联网声光产品交互设计与评估。研究明确该技术可针对性缓解产后抑郁,实现"监测-定制-调整"闭环,填补专项产品空白;构建的五层交互设计体系,精准匹配产妇需求,各功能适配产后场景;评估与对比实验验证产品有效性,满意度达85%,使用产妇抑郁症状显著缓解,高频使用者改善更优。

综上,该产品为产后抑郁干预提供可行方案,未来融合人工智能优化情绪预测与方案推荐,可进一步提升智能化与干预效果,助力产妇健康。

参考文献

- [1] Huong Thi Thanh Nguyen, Anh Phuong Hoang, Ly Thi Kim Do, Stephen Schiffer, Huyen Thi Hoa Nguyen. (2021). The Rate and Risk Factors of Postpartum Depression in Vietnam from 2010 to 2020: A Literature Review. Frontiers in psychology.
- [2] 朱鹏,李丽,褚海燕. (2013). 心理干预对产后抑郁症患者焦虑抑郁情绪的影响. 中国现代医生(1).
- [3] 曹荣俊.(2024-12-16).产后抑郁不容忽视.甘肃科技报,005.
- [4] Sarah, Tebeka, Caroline, Dubertret. (2019). [Postpartum depression]..La Revue du praticien(2).
- [5] 何亚辉. (2020). 产后抑郁怎么回事. 健康必读(27).
- [6] 高艳英. (2013). 护理干预对光疗婴儿母亲产后抑郁的影响. 中国卫生产业(23).
- [7] 恩和吉雅. (2023). 轻音乐在剖宫产麻醉中的效果观察. 中文科技期刊数据库(全文版)医药卫生.
- [8] Rosyati Pastuty, Elita Vasra, Gustiana Gustiana. (2023). THE EFFECTIVENESS OF AUDIO HYPNOTHERAPY IN REDUCING POSTPARTUM DEPRESSION DURING NEW NORMAL. NSC Nursing(6).
- [9] Seeba Sulekha Abdulkader,Uvais Ahmed Qidwai. (2021). PPG压缩技术与实现综述.
- [10] 严程娟,胡希文,傅菊萍,张英,毛艳. (2024). 爱丁堡产后抑郁量表评分在经产妇产后抑郁症状评估中的应用及产后抑郁的影响因素分析. 中国妇幼保健(20).

Design of clock synchronization method in narrowband Internet of Things smart gas meter communication

Mengyang Li Weijian Zhang Xiuqi Lv Yongcheng Liu Shizhang Liu

- 1. Kunlun Intelligent Technology Co., Ltd., Beijing, 102206, China
- 2. CNPC Kunlun Gas Co., Ltd, Jinan, Shandong, 250400, China

Abstract

For remote communication between smart gas meters equipped with Narrow Band Internet of Things (NB-IoT) and remote data acquisition systems, synchronization of system clocks between both ends is essential to enable the meters to utilize the acquisition system's clock. Although NB-IoT modules in smart gas meters feature manufacturer-specific time synchronization AT commands, differences in meter embedded systems, NB-IoT module models, and telecom operators often prevent unified access, configuration, and operational management of clock servers. Building on the NTP clock synchronization concept for universal servers, this paper proposes a timestamp-based method to calculate network transmission delays for clock synchronization. This approach allows gas companies to achieve standardized clock synchronization across meters using different manufacturers' IoT modules through NB-IoT networks via a unified application-layer protocol. Experimental verification demonstrates that clock synchronization accuracy between smart gas meters and information acquisition system servers can reach 5ms.

Keywords

clock synchronization; NB-IoT; narrowband Internet of Things; NTP; smart gas meter

窄带物联网智能燃气表通信中的时钟同步方法设计

李梦洋 ¹ 张炜健 ² 吕修琦 ² 刘永成 ¹ 刘世章 ¹

- 1. 昆仑数智科技有限责任公司,中国·北京 102206
- 2. 中石油昆仑燃气有限公司山东分公司,中国·山东济南 250400

摘 要

在基于窄带物联网(Narrow Band Internet of Things,简称 NB-IoT)的智能燃气表表具和远端数据采集系统进行远程通信时,需要对通信两端进行系统时钟的同步,以达到表具采用采集系统时钟的目的。智能燃气表具中使用的 NB-IoT 模组虽具有厂商扩展的时间同步 AT 指令,但由于表具嵌入式系统、NB-IoT 模组型号以及通信运营商的差异性,往往无法进行时钟服务器的统一接入、配置以及后期的统一运营。本文基于通用服务器的 NTP 时钟同步思想,设计了一种基于时间戳计算网络传输时延的时钟同步方法,使得燃气企业能够以统一的应用层协议方式将来自不同厂商、使用不同物联网模组的表具按统一的方式通过 NB-IoT 网络实现网络时钟同步。通过实验验证,物联网智能燃气表与信息采集系统服务器之间的时钟同步精度可达到 5ms。

关键词

时钟同步; NB-IoT; 窄带物联网; NTP; 智能燃气表

1引言

随着物联网技术的快速发展,以及 5G 通信网络的有力支撑,燃气领域中居民使用的传统插卡式 IC 卡燃气表正在逐步升级为基于物联网的智能燃气表 [1.2]。 智能燃气表是一种在燃气计量基表基础上新增了电子和通信模块的新型燃气表 [3],使燃气企业具备了可以通过远端数据采集平台采集表端计量信息进行实时计费和远程控制的能力。

燃气企业的远端采集平台,一般采用通用的互联网

【作者简介】李梦洋(1988-),男,中国辽宁锦州人,博士,工程师,从事能源领域信息与数智化技术研究。

服务架构,以请求响应的方式通过通信运营商的 NB-IoT (Narrow Band Internet of Things,窄带物联网技术) 网络,实现与物联网智能燃气表的通信,以及进行相应的业务控制 $^{[4]}$,如图 $^{[4]}$ $^{[4]$



图 1 物联网智能燃气表通信模式

在采集平台和物联网智能燃气表进行通信的过程中, 需进行二者之间的时钟同步,建立二者通信的时钟基准。目 前,智能燃气表具中使用的 NB-IoT 模组虽具有厂商扩展的 时间同步 AT 指令,但由于表具嵌入式系统、NB-IoT 模组型号以及通信运营商的差异性,往往无法进行时钟服务器的统一接入、配置以及后期的统一运营。

2 时钟同步问题

当前民用燃气领域的现状是,燃气企业通过数据采集平台将其系统时钟下发至物联网燃气表,由物联网燃气表根据时间戳对表具端的时钟进行校正^[5]

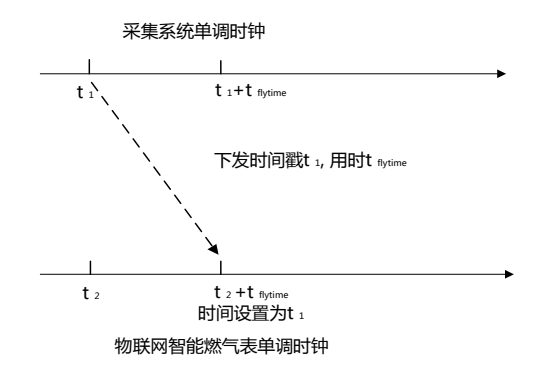


图 2 物联网智能燃气表简单时钟同步

这一过程如图 2 所示,采集系统在 t_1 时刻(此时物联 网智能燃气表的时钟为 t_2 时刻)将系统时钟(时间戳 t_1)下发,当物联网智能燃气表收到时间戳 t_1 时,考虑到网络传输延迟,以及其他业务处理所消耗的时间,端到端的延迟时间计为 $t_{flytime}$,表具应在 $t_2+t_{flytime}$ 时刻将其时钟设定为。

*t_{flytime}*受网络传输状况的影响较大,是一个随时间变化的数值,包含有线网络的延迟和通信运营商无线通信网络的延迟两部分。

因此,工程实践中,表具在 $t_2+t_{flytime}$ 时刻收到时间戳,通常直接将时间修正为 t_1 。但当 $t_2>t_1$ 时,在时刻 $t_2+t_{flytime}$ 将时间调整为 t_1 ,则可能会导致某些按照时间进行计算的逻辑出现"时间倒退"的现象,引起第三者视角从时间维度看到的业务产生混乱。

通过实测,当前采集平台端到表端的时间误差 **f**fytime通常可达秒级。对于一般的民用燃气业务,这种误差不会产生较大影响,但若涉及到阶梯计费 ^[6],则容易引起合同纠纷。

3 时钟同步设计

为提供一个可统一接入管理时钟误差的解决方案,以及提升时钟同步的精度,参考 RFC 5905 Network Time Protocol(简称 NTP, 网络时间协议),本文设计了一种智能燃气表嵌入式系统时钟同步方法,可以屏蔽不同的表具型号、不同的 NB-IoT 模组型号,以统一的应用层协议的方式实现时钟同步,系统架构如图 3 所示。

图 3 中,燃气企业数据采集平台通过局域网 NTP 服务器实现数据采集服务集群内服务器间的时钟同步。通信运营商的 NB-IoT 网络平台通过广域网网关与燃气企业数据采集平台实现跨域通信,NB-IoT 通信网络通过无线通信实现与

城镇小区居民物联网智能燃气表的通信,最终实现燃气企业 数据采集服务集群和城镇小区居民物联网智能燃气表的互 联互通。

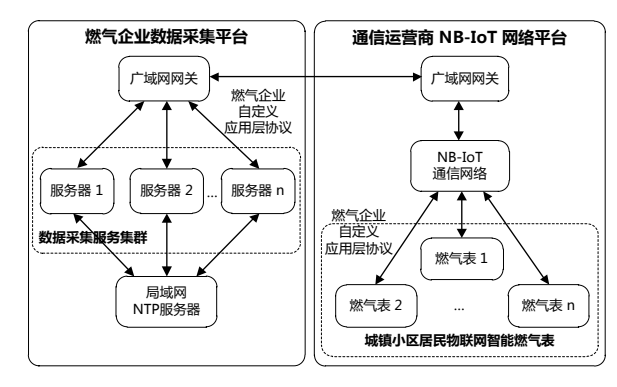
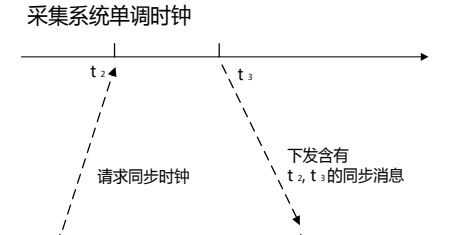


图 3 系统架构设计

核心的,在通信过程中需要利用燃气企业自定义的应用层协议实现燃气表和数据采集服务器的时钟同步。将端到端的系统进行抽象简化,以采集系统端的单调时钟为时钟基准,进行物联网智能燃气表端系统时钟同步的方法可概括为如图 4 所示的过程。



物联网智能燃气表单调时钟

图 4 端到端的时钟同步设计

根据图 4,智能燃气表可在表端计算获得整个通信过程中的网络传输时间 t_n 为,

$$t_n = (t_4 - t_1) - (t_3 - t_2)$$

假定上下行通信的延迟时间是相同的,则可计算出单程网络传输时间 $t_{flytime}$ 为,

$$t_{flytime} = \frac{1}{2}t_n = \frac{1}{2}[(t_4 - t_1) - (t_3 - t_2)]$$

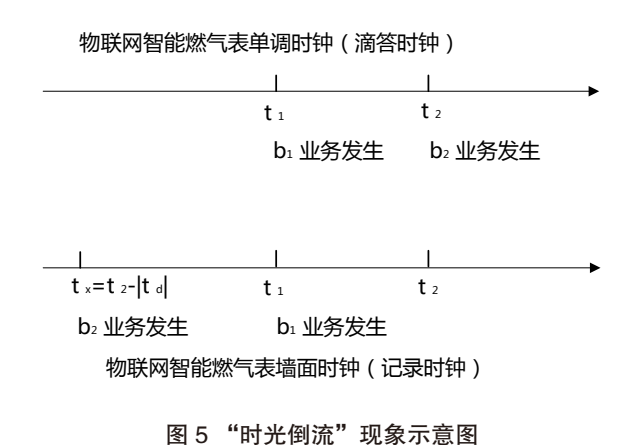
则表端可计算其时钟系统和采集系统时钟系统的时间 误差 t_d 为,

$$t_d = t_2 - (t_1 + t_{flytime}) = \frac{1}{2} [(t_2 - t_1) - (t_4 - t_3)]$$

需特别注意 $t_d < 0$ 的情况,即表端单调时钟系统超前于采集系统单调时钟系统,表端需要向后步进时间单位 $|t_d|$ 。若直接进行调整,则可能会导致表端业务时序混乱,如图 5 所示,此时,以第三者视角看来,表端的业务时序产生混乱。

为了避免出现"时光倒流"的现象,表具端应按照其实际时钟记录精度(例如 1ms),将需要调整的时钟误差

分割成多个较小的单位,按照逐步逼近的方式,多次进行时钟调整。或者,考虑到表具嵌入式系统中的微控制器实际时间的控制程度^[7],可以使其单调时钟系统的"滴答"变慢,最终实现平滑的时间过渡。



4 实验验证

4.1 实验设计

实验网络拓扑如图 6 所示。主机 h1 模拟数据采集平台,主机 h2 模拟燃气表具,设定 h1 到 h2 端到端网络传输延迟时间为 1s,即 h1-h2 的网络 RTT(Round Trip Time,即网络往返时间)为 2s,h1-h2 的网络带宽设置为 200Kbps,模拟实际 NB-IoT 网络的端到端的延迟以及传输带宽 [8]。

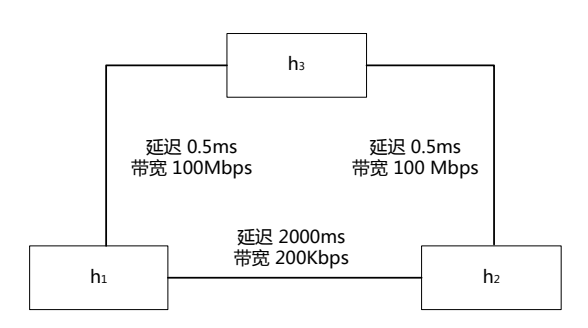


图 6 时钟同步实验网络拓扑示意图

主机 h_3 作为监控机器节点,实时获取节点 h_1 和节点 h_2 的系统时间,为了减少引入的时间误差,将 h_3 - h_1 、 h_3 - h_2 之间的网络带宽设置为 100 Mbps,RTT 设置为 0.5 ms。 h_1 、 h_2 、 h_3 3 个节点中的数据传输采用 TCP 协议。

然后分别按照简单时间戳下发的方法,和本文设计如图 4 所示的基于时间戳计算网络传输时延的时钟同步方法进行时钟同步,对比时钟同步精度的提升程度。

4.2 软件设计

本文设计的时钟同步为单向时钟同步方式,两端为服 务端(数据采集平台端)和客户端(智能燃气表端),服务端将其时钟单向同步至客户端。

智能燃气表端作为客户端,主动发起时钟同步请求。数据采集平台端作为服务端,响应客户端的时钟同步请求。

两者响应流程如7图所示。

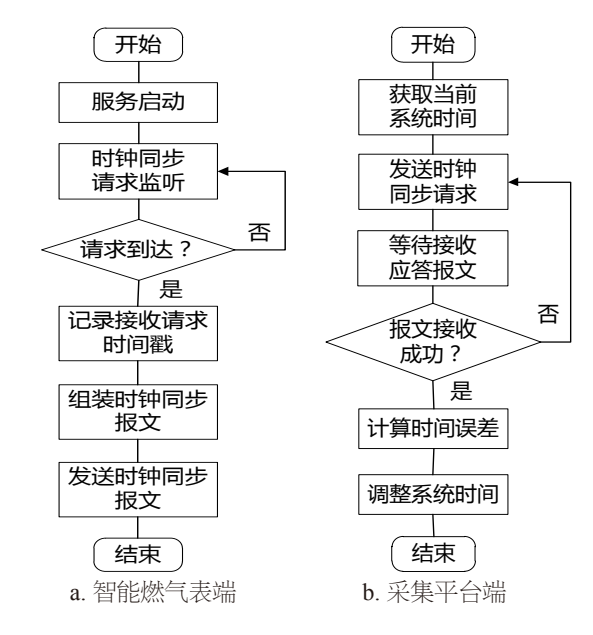


图 7 响应流程示意图

4.3 实验结果

通过表 1 的实验数据可知,运用简单时间戳下发的时钟同步方式后,客户端 h2 和服务端 h1 之间存在约 1 秒的时钟误差,且误差稳定为负值,处于-1.002 秒到-1.005 秒区间,这表明 h2 的时钟相较于 h1 慢了大约 1 秒,凸显出同步过程中无法回避的网络传输延迟。简单时间戳下发方法的本质是造成这种误差的主要原因:服务端直接把当前时间发送给客户端,客户端收到时间后加以设置,然而在信息传递进程中,信息传输时,数据包在网络传输中出现了延迟,且简单方法未对往返延迟和传输时间做补偿,故而会引人恒定的时间偏差,鉴于网络状况或许会出现波动,该方法在不同网络环境下的精准度或许会进一步降低,依据实验结果,即便误差大概为 1 秒,但误差值相对稳定且一致,表明该方法在短期内具备一定的稳定性与可重复性。

表 1 简单时间戳下发时钟同步实验数据

No	服务端 (h1) 时钟	客户端 (h2) 时钟	时钟误差 (秒)
1	2022-09-13 01:03:33.756	2022-09-13 01:03:32.754	-1.002
2	2022-09-13 01:09:01.294	2022-09-13 01:09:00.291	-1.003
3	2022-09-13 01:10:14.622	2022-09-13 01:10:13.617	-1.005
4	2022-09-13 01:11:17.043	2022-09-13 01:11:16.039	-1.004
5	2022-09-13 01:12:58.703	2022-09-13 01:12:57.700	-1.003

分析表 2 的实验数据可知,当采用基于时间戳计算网络传输时延的时钟同步方法之后,客户端 h2 和服务端 h1 间的时钟误差大幅降低,误差值处于-0.004秒至-0.002秒范围,约 2 到 4 毫秒,实验环境中同步精度可达 5ms。这显示该方法能有力克服网络传输延迟对时钟同步造成的干扰,和简单时间戳下发方法相比,精度提高了两个数量级。这种高精度